

穿心莲内酯通过抑制 PI3K/AKT 通路对人肝癌 HepG2 细胞凋亡的影响

范 犀, 周 宇, 高 伟, 范康川

(雅安市第二人民医院, 四川 雅安 625000)

摘要:[目的] 探讨穿心莲内酯通过抑制磷脂酰肌醇 3-激酶(PI3K)/蛋白激酶 B(AKT)通路对人肝癌细胞凋亡的影响。[方法] 将人肝癌细胞株 HepG2 分为对照组、低浓度穿心莲内酯组、中浓度穿心莲内酯组、高浓度穿心莲内酯组, 低、中、高浓度穿心莲内酯组分别加入培养基稀释的终浓度为 10、30、50 μmol/L 的穿心莲内酯, 对照组加入等剂量的培养基。采用四甲基偶氮唑盐(MTT)法检测各组 HepG2 细胞增殖率, 流式细胞术检测各组 HepG2 细胞凋亡率, Western blot 法检测各组 HepG2 细胞 PI3K、p-AKT 蛋白表达水平。[结果] 低浓度穿心莲内酯组 HepG2 细胞增殖率及 PI3K、p-AKT 蛋白表达水平较对照组明显下降 ($Q=2.942, 9.836, 6.348, P<0.05$) ; 中浓度穿心莲内酯组 HepG2 细胞增殖率及 PI3K、p-AKT 蛋白表达水平较低浓度穿心莲内酯组明显下降 ($Q=2.942, 13.832, 10.691, P<0.05$) ; 高浓度穿心莲内酯组 HepG2 细胞增殖率及 PI3K、p-AKT 蛋白表达水平较中浓度穿心莲内酯组明显下降 ($Q=13.411, 19.058, 16.371, P<0.05$) 。低浓度穿心莲内酯组 HepG2 细胞凋亡率较对照组明显升高 ($Q=83.662, P<0.05$) ; 中浓度穿心莲内酯组 HepG2 细胞凋亡率较低浓度穿心莲内酯组明显升高 ($Q=147.267, P<0.05$) ; 高浓度穿心莲内酯组 HepG2 细胞凋亡率较中浓度穿心莲内酯组明显升高 ($Q=241.925, P<0.05$) 。[结论] 穿心莲内酯可能通过抑制 PI3K/AKT 通路抑制人肝癌细胞增殖, 促进人肝癌细胞凋亡, 可为临床治疗肝癌提供新方向。

主题词:穿心莲内酯;HepG2 细胞;PI3K/AKT 通路;细胞凋亡;细胞增殖

中图分类号:R735.7 **文献标识码:**A **文章编号:**1671-170X(2020)06-0496-05

doi:10.11735/j.issn.1671-170X.2020.06.B006

Effect of Andrographolide on Apoptosis of Human Hepatoma HepG2 Cells by Inhibiting PI3K/AKT Pathway

FAN Yi, ZHOU Yu, GAO Wei, FAN Kang-chuan

(Second People's Hospital of Ya'an, Ya'an 625000, China)

Abstract: [Objective] To investigate the effect of andrographolide on apoptosis of human hepatoma HepG2 cells and its relation with phosphatidylinositol 3-kinase (PI3K)/protein kinase B (AKT) pathway. [Methods] Human hepatoma HepG2 cells were divided into control group, low andrographolide concentration group (10 μmol/L), medium andrographolide concentration group (30 μmol/L) and high andrographolide concentration group (50 μmol/L). The proliferation rate of HepG2 cells was detected by MTT, the apoptosis rate of HepG2 cells was detected by flow cytometry, and the expression levels of PI3K and p-AKT protein in HepG2 cells were detected by Western blot. [Results] The proliferation rate and the expression of PI3K and p-AKT protein in the control group were higher than those in low, medium and high andrographolide groups ($Q=2.942, 9.836, 6.348, P<0.05$; $Q=2.942, 13.832, 10.691, P<0.05$ and $Q=13.411, 19.058, 16.371, P<0.05$). The apoptosis rate of HepG2 cells in control group was lower than that in low, medium and high andrographolide groups ($Q=83.662, P<0.05$, $Q=147.267, P<0.05$ and $Q=241.925, P<0.05$). [Conclusion] Andrographolide may inhibit the proliferation and promote the apoptosis of human hepatocellular carcinoma HepG2 cells by inhibiting PI3K/AKT pathway, and also promote the apoptosis of HepG2 cells, which may provide a new direction for clinical treatment of hepatocellular carcinoma.

Subject words: andrographolide; HepG2 cells; PI3K/AKT pathway; apoptosis; cell proliferation

肝癌是人类常见的恶性肿瘤之一, 具有高发病率和高病死率的特点^[1]。据统计我国肝癌年死亡率约 20.37/10 万, 居我国肿瘤致死性疾病第 2 位^[2]。肝癌早期临床征象极不典型, 病情进展迅速, 发现时

多已处于终末期,失去手术治疗机会^[3],因此寻找有效抗癌药物对改善肝癌患者生存质量有重要意义。穿心莲内酯是药用植物穿心莲的主要有效成分之一,具有抗炎、抗氧化、抗肿瘤等作用。磷脂酰肌醇3-激酶(phosphatidylinositol 3-kinase, PI3K)/蛋白激酶B(protein kinase B, AKT)信号通路是细胞内重要信号通路之一,在乳腺癌、胰腺癌、肺癌等恶性肿瘤发生发展中有重要调控作用^[4]。研究发现^[5]穿心莲内酯具有抗肝癌作用,但其作用机制是否与PI3K/AKT信号通路有关尚不清楚。本研究就穿心莲内酯对人肝癌细胞增殖、凋亡的影响及其通路机制进行了探讨,以期为穿心莲内酯应用于肝癌治疗提供理论基础。

1 材料与方法

1.1 实验材料

人肝癌细胞株HEPG2,购自美国ATCC公司。

1.2 HEPG2细胞培养及分组处理

将HEPG2细胞置于含10%胎牛血清(杭州四季青生物制品公司)的RPMI 1640培养基(美国GIBCO公司),培养于37℃、5%CO₂恒温箱(南京威美特科学仪器有限公司,型号:SPT/YS-60L)中,当细胞融合达75%~85%,用0.05%胰蛋白酶(上海素尔生物科技有限公司)消化传代,取对数生长期细胞用于后续实验。实验分组:对照组、低浓度穿心莲内酯组、中浓度穿心莲内酯组、高浓度穿心莲内酯组,将各组细胞按每孔1×10⁵个接种于6孔板中,细胞完全贴壁后,1000r/min离心10min,弃上清,低、中、高浓度穿心莲内酯组分别加入培养基稀释的终浓度为10、30、50μmol/L的穿心莲内酯(美国Sigma公司),对照组加入等剂量的培养基,于37℃、5%CO₂恒温箱培养48h后用于以下检测项目。

1.3 HEPG2细胞增殖率检测

采用四甲基偶氮唑盐(MTT)法检测,操作如下:取各组HEPG2细胞加入20μl 5g/L MTT溶液(上海碧云天生物技术有限公司),37℃恒温箱孵育4h,弃去上清液,每孔加入200μl二甲基亚砜溶液(上海恒斐生物科技有限公司),轻微振荡10min,待孔内结晶完全彻底溶解后,采用酶标仪(济南康环医疗器械有限公司,型号:ELx800NB)于570nm波长下测定光密度(optical density, OD)值,记录结果,计算各

组HEPG2细胞增殖率。细胞增殖率=(处理组OD值/对照组OD值)×100%。

1.4 HEPG2细胞凋亡率检测

采用流式细胞术检测,操作如下:取各组HEPG2细胞,以500μl结合缓冲液重悬。向流式管中依次加入100μl细胞悬液、5μl碘化丙啶(PI)(上海伊卡生物技术有限公司)、5μl异硫氰酸荧光素(Annexin V-FITC)(上海金穗生物科技有限公司),轻微混匀,25℃避光反应15min,1h内采用流式细胞仪(美国BD公司,型号:FACSCalibur)检测各组HEPG2细胞凋亡率。

1.5 HEPG2细胞PI3K、p-AKT蛋白表达水平检测

采用Western blot法检测,操作如下:取各组HEPG2细胞,PBS漂洗,加细胞裂解液(武汉谷歌生物公司),15 000r/min离心10min,收集上清液,采用BCA试剂盒(上海碧云天生物技术有限公司)测定蛋白浓度,10%SDS-PAGE电泳,转膜,5%脱脂奶粉(上海联硕生物科技有限公司)封闭1h,加入1:400稀释的兔抗人PI3K单克隆抗体(上海宸功生物技术有限公司)、1:300稀释的兔抗人p-AKT单克隆抗体(上海恪敏生物科技有限公司)、1:200稀释的兔抗人β-actin单克隆抗体(上海瑞齐生物科技有限公司),4℃孵育过夜,PBS漂洗,加山羊抗兔IgG二抗(杭州启泰生物技术有限公司),37℃孵育1h,ECL发光试剂盒(苏州宇恒生物科技有限公司)对PVDF膜进行曝光显影,应用Image Lab 5.2.1软件分析目的蛋白与内参蛋白的灰度值,最终结果以目的蛋白与内参蛋白(β-actin)灰度值之比表示。

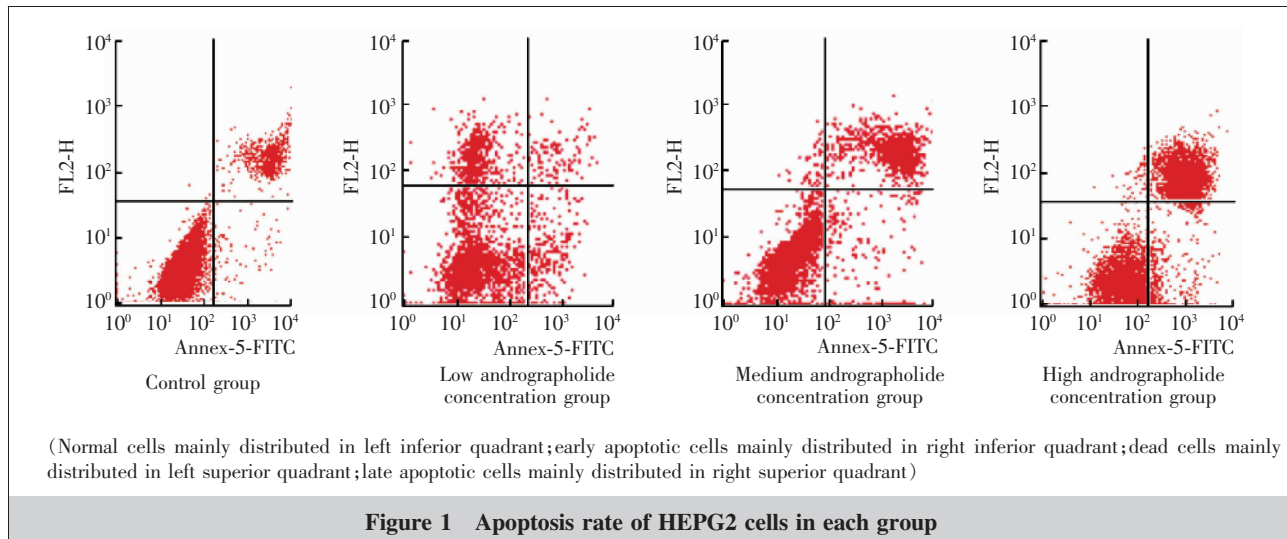
1.6 统计学处理

采用SPSS 22.0软件对数据进行统计分析,多组比较采用单因素方差分析,两组比较采用snk-q检验, $P<0.05$ 为差异有统计学意义。

2 结 果

2.1 各组HEPG2细胞增殖率

低浓度穿心莲内酯组HEPG2细胞增殖率较对照组明显下降,差异有统计学意义($Q=2.942, P<0.05$);中浓度穿心莲内酯组HEPG2细胞增殖率较低浓度穿心莲内酯组明显下降,差异有统计学意义($Q=7.951, P<0.05$);高浓度穿心莲内酯组HEPG2细



胞增殖率较中浓度穿心莲内酯组明显下降,差异有统计学意义 ($Q=13.411, P<0.05$) (Table 1)。

2.2 各组 HEPG2 细胞凋亡率

低浓度穿心莲内酯组 HEPG2 细胞凋亡率较对照组明显升高,差异有统计学意义 ($Q=83.662, P<0.05$); 中浓度穿心莲内酯组 HEPG2 细胞凋亡率较低浓度穿心莲内酯组明显升高,差异有统计学意义 ($Q=147.267, P<0.05$); 高浓度穿心莲内酯组 HEPG2 细胞凋亡率较中浓度穿心莲内酯组明显升高,差异有统计学意义 ($Q=241.925, P<0.05$) (Table 1, Figure 1)。

2.3 各组 HEPG2 细胞中 PI3K、p-AKT 蛋白表达水平

低浓度穿心莲内酯组 HEPG2 细胞 PI3K、p-AKT 蛋白表达水平较对照组明显下降,差异有统计学意义 ($Q=9.836, 6.348, P<0.05$); 中浓度穿心莲内酯组 HEPG2 细胞 PI3K、p-AKT 蛋白表达水平较低浓度穿心莲内酯组明显下降,差异有统计学意义 ($Q=13.832, 10.691, P<0.05$); 高浓度穿心莲内酯组 HEPG2 细胞 PI3K、p-AKT 蛋白表达水平较中浓度穿心莲内酯组明显下降,差异有统计学意义 ($Q=19.058, 16.371, P<0.05$) (Table 2, Figure 2)。

Table 1 Comparison of proliferation rate and apoptosis rate of HEPG2 cells in each group

Groups	n	Proliferation rate(%)	Apoptosis rate(%)
Control group	6	100.00±10.98	2.22±0.15
Low andrographolide concentration group	6	89.77±8.32 ^①	13.86±0.28 ^①
Medium andrographolide concentration group	6	72.35±7.64 ^{①②}	22.71±0.39 ^{①②}
High andrographolide concentration group	6	53.36±6.49 ^{①②③}	35.88±0.46 ^{①②③}
F	-	34.690	10438.990
P	-	<0.001	<0.001

Note: Compared with control group, ^① $P<0.05$; Compared with low andrographolide concentration group, ^② $P<0.05$; Compared with medium andrographolide concentration group, ^③ $P<0.05$

Table 2 Comparison of expression of PI3K and p-AKT protein in each group

Groups	n	PI3K(%)	p-AKT(%)
Control group	6	0.83±0.11	0.68±0.10
Low andrographolide concentration group	6	0.51±0.09 ^①	0.49±0.09 ^①
Medium andrographolide concentration group	6	0.38±0.06 ^{①②}	0.36±0.05 ^{①②}
High andrographolide concentration group	6	0.21±0.04 ^{①②③}	0.19±0.03 ^{①②③}
F	-	64.970	61.830
P	-	<0.001	<0.001

Note: Compared with control group, ^① $P<0.05$; Compared with low andrographolide concentration group, ^② $P<0.05$; Compared with medium andrographolide concentration group, ^③ $P<0.05$

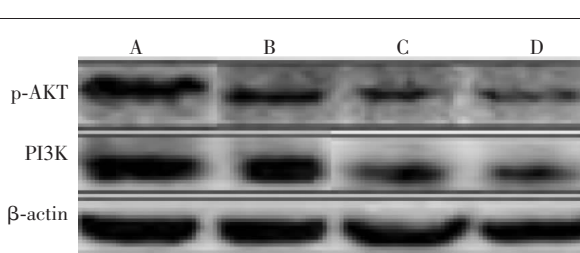


Figure 2 Expression of PI3K and p-AKT protein in each group

3 讨 论

目前临床肝癌治疗方法主要有肝切除手术治疗、放射性治疗、化学药物治疗、介入治疗、肝移植治疗等。其中,针对临床分期较早且未出现远处转移的肝癌患者,手术切除和肝移植为最有效的治疗方法,但由于肝癌早期症状无特异性,确诊时多已处于晚期,故临幊上仅15%肝癌患者适宜肝切除及肝移植治疗;介入治疗操作有一定难度,即使操作顺利进行,由于高压注射等原因,可造成误栓、分流及微转移;放射性治疗对正常肝细胞损伤较大,且适用于早期肝癌患者;化学药物治疗常因肿瘤耐药性而疗效不佳^[6]。因此寻找安全有效的肝癌治疗方法有重要的临床意义。

近年来中药有效成分应用于各种恶性肿瘤治疗而备受关注。穿心莲又名春莲秋柳,是一种爵床科穿心莲属植物,广泛分布于我国南方等地,味苦性寒,归心脏、肝脏、大肠、膀胱经,具清热解毒、消炎止痛、凉血消肿之功^[7]。穿心莲内酯为穿心莲的主要有效成分,除具有镇静、抗病原微生物、免疫功能调节、利胆保肝等作用外,还具有较强的抗肿瘤作用^[8]。研究发现^[9]穿心莲内酯对乳腺癌细胞DNA合成有抑制作用。另有研究发现^[10]穿心莲内酯可抑制W256移植性肿瘤生长,且其抑制作用随剂量增加而增强。本研究与上述研究^[10]相符,各穿心莲内酯组HEPG2细胞增殖率较对照组明显下降,且各穿心莲内酯组HEPG2细胞增殖率随穿心莲内酯浓度的上升而下降,提示穿心莲内酯可抑制人肝癌细胞HEPG2增殖且呈浓度依赖性。本研究结果还显示各穿心莲内酯组HEPG2细胞凋亡率较对照组明显升高,且各穿心莲内酯组HEPG2细胞凋亡率随穿心莲内酯浓度的上升而升高,提示穿心莲内酯可促进人肝癌细胞HEPG2凋亡且呈浓度依赖性。细胞凋亡是由基因控制的细胞自主的有序死亡,涉及一系列基因的激活、表达。PI3K/AKT信号通路是细胞内重要信号通路之一,也是恶性肿瘤增殖及转移的重要分子机制之一^[11]。PI3K是一种胞内磷脂酰肌醇激酶,具有丝氨酸/苏氨酸(serine/threonine,Ser/Thr)激酶的活性,与v-src、v.ras等癌基因产物相关。AKT是PI3K的下游效应基因,能特异性作用于底物中Ser/Thr残基并使之磷酸化。当PI3K接受来自酪氨酸激酶

(tyrosine kinase,TK)和G蛋白耦联受体(G-protein coupled receptor, GPCR)的信号后,其p110亚基与p85亚基结合,将磷脂酰肌醇2二磷酸转化为磷脂酰肌醇3磷酸,磷脂酰肌醇3磷酸与AKT的N端PH结构域结合,使AKT蛋白上的Thr、Ser磷酸化而使其激活^[12]。有研究提到^[13]PI3K/AKT信号通路是参与细胞增殖、凋亡的信号转导通路,与恶性肿瘤发生、发展密切相关。本研究结果显示各穿心莲内酯组HEPG2细胞PI3K、p-AKT蛋白表达水平较对照组明显下降,且各穿心莲内酯组HEPG2细胞PI3K、p-AKT蛋白表达水平随穿心莲内酯浓度的上升而下降,提示穿心莲内酯可能通过抑制PI3K/AKT通路抑制人肝癌细胞增殖,促进人肝癌细胞凋亡。有研究发现^[14]线粒体在细胞凋亡过程中扮演重要角色,因此我们推测穿心莲内酯可能通过抑制PI3K/AKT通路而促进线粒体膜通透性转运孔(mitochondrial permeability transition pore,MPTP)开放,引起线粒体内膜通透性增加,使细胞色素C(Cytochrome C,CYC)等促凋亡因子外流,导致凋亡信号通路广泛激活,从而导致人肝癌细胞HEPG2增殖减少和凋亡增多^[15]。

综上所述,穿心莲内酯可能通过抑制PI3K/AKT通路抑制人肝癌细胞增殖,促进人肝癌细胞凋亡,这可为临床治疗肝癌提供新的方向。但穿心莲内酯抗肝癌作用是否还可通过其他机制,尚需进一步研究。

参 考 文 献:

- [1] Wen TC. Interpretation of diagnosis and treatment standard of primary liver cancer (2017 Edition) [J]. Chinese Journal of Bases and Clinics in General Surgery, 2018, 2 (3):128-132.[文天夫. 原发性肝癌诊疗规范(2017年版)解读[J]. 中国普外基础与临床杂志, 2018, 2(3):128-132.]
- [2] Zhang S, Wang F, Meng QL, et al. Epidemiology of hepatitis B virus infection among primary liver cancer patients [J]. Chinese Journal of Vaccines and Immunization, 2018, 5(2):112-117.[张爽,王锋,孟庆玲,等. 原发性肝癌患者流行病学与乙型肝炎病毒感染调查[J]. 中国疫苗和免疫, 2018, 5(2):112-117.]
- [3] Huang QR, Zhang L. New progress in the treatment of primary liver cancer [J]. The Journal of Practical Medicine, 2016, 32(14):2275-2278.[黄乾荣,张玲. 原发性肝癌治疗研究新进展[J]. 实用医学杂志, 2016, 32(14):2275-2278.]
- [4] Mayer IA, Arteaga CL. The PI3K/AKT Pathway as a target

- for cancer treatment[J]. Annu Rev Med,2016,67:11–28.
- [5] Liu HY,Wang XQ,Yuan LN,et al. Effects of andrographolide on proliferation of MHCC97H cells and its mechanism [J]. Journal of Guangzhou University of Traditional Chinese Medicine,2019,36(3):99–106.[刘红英,王协奇,袁丽娜,等. 穿心莲内酯对人肝癌细胞 MHCC97H 增殖的影响及其机制研究 [J]. 广州中医药大学学报, 2019,36(3):99–106.]
- [6] Health and Family Planning Commission of the People's Republic of China. Standard for diagnosis and treatment of primary liver cancer (2017) [J]. Chinese Journal of Digestive Surgery,2017,16 (7):705–720.[中华人民共和国卫生和计划生育委员会医政医管局. 原发性肝癌诊疗规范 (2017 年版)[J]. 中华消化外科杂志,2017,16(7): 705–720.]
- [7] Lin L,Li R,Cai M,et al. Andrographolide ameliorates liver fibrosis in mice;involvement of TLR4/NF- κ B and TGF- β 1/Smad2 signaling pathways [J]. Oxid Med Cell Longev, 2018,2018:7808656.
- [8] Guo L,Kang L,Liu X,et al. A novel nanosuspension of andrographolide:Preparation,characterization and passive liver target evaluation in rats [J]. Eur J Pharm Sci, 2017,104:13–22.
- [9] Liu HY,He QL,Zhou DL,et al. Effects of andrographolide on proliferation and cell cycle of human breast cancer cell line MCF-7[J]. Guangdong Medical Journal,2016,37(23): 3511–3514.[刘红英,何青莲,周大磊,等. 穿心莲内酯对人乳腺癌细胞 MCF-7 细胞增殖及细胞周期的影响[J]. 广东医学,2016,37(23):3511–3514.]
- [10] Lu JF,Tang YH,Wang YL,et al. Inhibitory effect of andrographolide on proliferation of different malignant hematopoietic tumor cell lines in vitro [J]. Central South Pharmacy,2017,15(3):305–307.[陆静峰,唐宇宏,王育丽,等. 穿心莲内酯对不同恶性血液肿瘤细胞株增殖抑制的影响[J]. 中南药学,2017,15(3):305–307.]
- [11] Voshol PJ,Dey JH,Oakeley E,et al. Targeting fibroblast growth factor receptors blocks PI3K/AKT signaling,induces apoptosis, and impairs mammary tumor outgrowth and metastasis.[J]. Cancer Res,2016,70(10):4151–4162.
- [12] Seraina F,Olivier D. PI3K and AKT:unfaithful partners in cancer[J]. Int J Mol Sci,2015,16(9):21138–21152.
- [13] Michael DA. The multi-faceted roles of the PI3K-AKT pathway in melanoma[J]. J Transl Med,2015,13(10):249–253.
- [14] Li Y,Zhao LL,Li Y,et al. Epigallocatechin-3-gallate induces human liver cancer HepG2 cell apoptosis and growth inhibition by suppressing phosphatidylinositol 3 kinase/protein kinase B signaling[J].[李懿,赵莉莉,李易,等. 表没食子儿茶素没食子酸酯通过 PI3K/AKT 信号通路抑制人肝癌细胞株 HepG2 增殖和促进凋亡 [J]. 世界华人消化杂志,2015,23(20):3188–3194.]
- [15] Zhang W,He H,Song HJ,et al. Neuroprotective effects of salidroside in the MPTP mouse model of parkinson's disease:involvement of the PI3K/Akt/GSK3 α , β ,pathway[J]. Parkinson's Disease,2016,17(5):1–9.